

5. Вильямс. Течения вязкого сжимаемого и несжимаемого газа в узких каналах.— Ракетн. техника и космонавтика, 1963, т. 1, № 1.
6. Рей. Некоторые результаты численных расчетов вязких течений разреженного газа в соплах в приближении узкого канала.— Ракетн. техника и космонавтика, 1971, т. 9, № 5.
7. Ветлужский В. Н., Мучная М. И. Расчет вязкого течения в гиперзвуковом сопле.— Изв. АН СССР. МЖГ, 1977, № 4.
8. Шлихтинг Г. Теория пограничного слоя. М.: Наука, 1974.
9. Лойцянский Л. Г. Ламинарный пограничный слой. М.: Физматгиз, 1962.
10. Степанов А. А., Щеглов В. А. Влияние эффектов смешения на энергетические показатели автономного химического НФ-лазера непрерывного действия.— Квант. электроника, 1979, т. 6, № 4.
11. Бунгова Т. А., Лавров А. В., Харченко С. С. Ламинарное смешение плоских нерасчетных сверхзвуковых химически реагирующих струй.— Изв. АН СССР. МЖГ, 1982, № 3.
12. Лапин Ю. В., Стрелец М. Х., Щур М. Л. Численное моделирование процессов в резонаторе непрерывного химического НФ-лазера на основе уравнений Навье — Стокса.— ФГВ, 1982, № 5.
13. Лапин Ю. В. Турбулентный пограничный слой в сверхзвуковых потоках газа. М.: Наука, 1970.
14. Абрамович Г. Н., Крашенинников С. Ю., Секундов А. Н., Смирнова И. П. Турбулентное смешение газовых струй. М.: Наука, 1974.
15. Лавров А. В., Поспелов В. А. Численный анализ режима генерации НФ-лазера непрерывного действия.— ФГВ, 1979, т. 15, № 1.
16. Степанов А. А., Щеглов В. А. О цепном механизме возбуждения непрерывного химического НФ-лазера с цилиндрическим сопловым блоком.— Квант. электроника, 1979, т. 6, № 7.
17. Поспелов В. А. Эффективная разностная схема расчета характеристик НФ-химического лазера непрерывного действия.— ЧММСС, 1982, т. 13, № 3.
18. Роуч П. Вычислительная гидромеханика. М.: Мир, 1980.
19. Баев В. К., Головичев В. И., Ясаков В. А. Двумерные турбулентные течения реагирующих газов/Под ред. Р. И. Солоухина. Новосибирск: Наука, 1976.
20. Баев В. К., Головичев В. И., Ясаков В. А. Горение в сверхзвуковом потоке. Новосибирск: Наука, 1984.

Поступила 30/V 1984 г.

УДК 539.196.5;621.375.826

## КИНЕТИЧЕСКИЕ ПРОЦЕССЫ В СИСТЕМЕ НИЖНИХ УРОВНЕЙ МОЛЕКУЛЫ CO<sub>2</sub>

R. Ш. Исламов, Ю. Б. Конев

(Москва) .

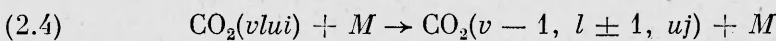
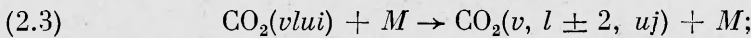
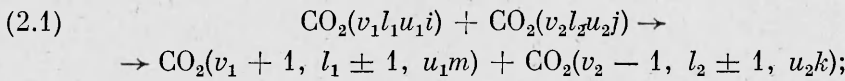
1. Детальная информация о процессах релаксации населенностей уровней симметричной и деформационной мод молекул CO<sub>2</sub> важна для теоретического исследования усиления и генерации на длинноволновых переходах CO<sub>2</sub>, генерации коротких импульсов излучения на 10,6 и 9,6 мкм и ряда других проблем. Отдельные группы уровней этих мод возмущены вследствие резонанса Ферми, поэтому указанные моды часто называют связанными. Расчет констант скорости многочисленных процессов в системе связанных мод в настоящее время не может сам по себе претендовать на получение количественных результатов. Известен ряд работ по экспериментальному исследованию динамики установления равновесия в системе нижних уровней после кратковременного возмущения населенности одного из них [1—9]. В [1, 5, 6] после насыщения коротким импульсом переходов в полосе 9,4 или 10,4 мкм наблюдалось изменение коэффициента поглощения на переходах в другой из этих полос, а в [7] — флуоресценция в диапазоне длии волн 15,48—16,92 мкм. В [2—4] измерялась скорость срыва генерации на переходах полос 9,4 и 10,4 мкм после выключения накачки. В [8] с помощью перестраиваемого зондирующего лазера измерялось поглощение на переходах нескольких полос в области 4,3 мкм, что позволило измерить динамику населенностей сразу нескольких нижних уровней. В [9] измерена избыточная по отношению к равновесной населенность ряда нижних уровней в зависимости от давления при двухфotonном комбинированном возбуждении CO<sub>2</sub>.

Интерпретация результатов экспериментов сложна и во многих случаях неоднозначна. Так, эксперименты по срыву генерации осложняются пороговыми и нелинейными эффектами в процессе генерации, а в [4] — п влиянием вращательной релаксации. В [1, 5] нельзя исключить возможность двухфотонных процессов взаимодействия насыщающего и зондирующего лучей [10]. Важно подчеркнуть трудность непосредственной интерпретации результатов [1—7], следствием чего было отнесение без достаточных оснований измерявшихся постоянных времени к константам скорости отдель-

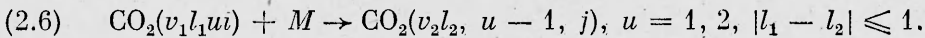
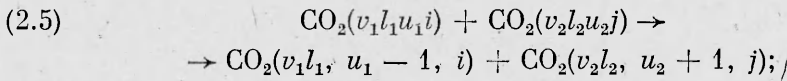
ных процессов. По указанным причинам между результатами разных работ существует большое различие.

В [11] детально описана методика расчетов усиления на переходах между уровнями связанных мод  $\text{CO}_2$  при адиабатическом расширении нагретого газа, основанная на численном решении системы кинетических уравнений для населенностей всех уровней, расположенных ниже  $5000 \text{ cm}^{-1}$ . В ней использована корреляция между константами скорости отдельных процессов, следующая из общих теоретических соображений. Это позволяет установить связь между измеренными в экспериментальных работах постоянными временем изменения населенностей отдельных уровней и константами скорости большого числа процессов, непосредственно не измеренными. Цель данной работы — численный анализ наиболее важных экспериментальных исследований динамики установления равновесия в системе нижних уровней  $\text{CO}_2$ , чтобы показать возможность их единой интерпретации. Вместе с тем хорошее согласие результатов расчета и эксперимента является обоснованием использованных в [11] теоретических предположений.

2. Из теории колебательной релаксации известно (см., например, [12]), что константы скорости  $VV$ - и  $VT$ -процессов пропорциональны квадратам матричных элементов оператора взаимодействия, в результате которого происходят соответствующие переходы, и функции адиабатичности, зависящей от дефекта энергии процесса, температуры и параметров сталкивающихся молекул. В отличие от антисимметричной моды радиационные переходы между уровнями связанных мод не относятся к числу очень сильных, и, следуя [10], можно предположить, что как близкие к резонансным столкновительные процессы между уровнями этих мод, так и перезонансные процессы происходят в результате короткодействующих экспоненциально спадающих с расстоянием сил, а вклад дальнодействующих мультипольных сил значительно слабее. В этом случае матричные элементы оператора взаимодействия пропорциональны степеням малого параметра, равного отношению амплитуды колебаний к радиусу действия экспоненциального потенциала, и из многообразия типов переходов между уровнями связанных мод наиболее вероятными будут среди близких по энергии уровней переходы с изменением колебательного момента  $|\Delta l| \leq 2$ , а среди перезонансных — одноквантовые переходы. Таким образом, в кинетических уравнениях для населенностей уровней молекул  $\text{CO}_2$  были приняты во внимание  $VV$ - и  $VT$ -процессы между уровнями связанных мод



и  $VV$ - и  $VT$ -процессы с участием антисимметричной моды



Здесь принято обозначение уровней энергии связанных мод по числу квантов деформационной моды  $v$  и колебательному угловому моменту  $l$  в группе близких по энергии уровней, причем уровни с одинаковым угловым моментом смешены вследствие резонанса Ферми и образуют мультиплеты;  $i$  — номер уровня в мультиплете, начиная с наиболее высокого;  $u$  — число квантов антисимметричной моды.

Вычисляемая исходя из параметров сталкивающихся молекул функция адиабатичности часто плохо соответствует экспериментальным данным. Ослабить роль этого недостатка теории можно, привлекая по возможности в большей степени экспериментальные результаты. С этой целью использовалась функция адиабатичности, в основном экспоненциально зависящая от дефекта энергии процесса  $\Delta E$ , следующая из весьма общих

Таблица 1

<i>vlui</i>	0001	1001	2002	2201	2001	3102	3301	3101
1001	<i>p</i>							
2002	0	$0,5p$						
2201	0	$2p$	$p^2$					
2001	0	$0,5p$	$p^2$	$p^2$				
3102	0	0	$1,46p$	$0,5p$	$0,04p$			
3301	0	0	0	$3p$	0	$1,5p^2$		
3101	0	0	$0,04p$	$0,5p$	$1,46p$	$p^2$	$1,5p^2$	
4003	0	0	0	0	0	$1,16p$	0	$0,01p$
4202	0	0	0	0	0	$2,48p$	$0,5p$	$0,02p$
4002	0	0	0	0	0	$0,33p$	0	$0,33p$
4401	0	0	0	0	0	0	$4p$	0
4201	0	0	0	0	0	$0,02p$	$0,5p$	$2,48p$
4001	0	0	0	0	0	$0,01p$	0	$1,16p$

теоретических соображений [13, 14]

$$F(M, \Delta E) = A(M, \Delta E/2kT) \exp(-\lambda_i(M)|\Delta E|),$$

где  $A(M, x) = (x^2/2)K_3(x)e^x$  в случае  $M = \text{Ar}$ ,  $\text{He}$  и  $A(M, x) = (x^3/8)K_3(x) \times e^x$  в случае  $M = \text{CO}_2$ ,  $\text{N}_2$ ;  $K_n(x)$  — модифицированные функции Бесселя порядка  $n$ ;  $i = 2$  для связанных мод и  $i = 3$  для антисимметричной моды. Константы скорости процессов (2.1) и (2.2)–(2.4) вычислялись соответственно по формулам

$$(2.7) \quad k(2.1) = \frac{k_2(\text{CO}_2)}{g_2(\text{CO}_2)} F(\text{CO}_2, \Delta E) \frac{L(v_1 l_1 u_1 i \rightarrow v_1 + 1, l_1 \pm 1, u_1 m)}{\sigma(l_1 \rightarrow l_1 \pm 1)} \times \\ \times \frac{L(v_2 l_2 u_2 j \rightarrow v_2 - 1, l_2 \pm 1, u_2 k)}{\sigma(l_2 \rightarrow l_2 \pm 1)},$$

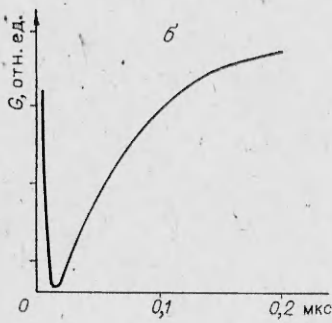
$$(2.8) \quad k((2.2) - (2.4), M) = \frac{k_2(M)}{g_2(M)} F(M, \Delta E) \frac{L(v_1 l_1 u_1 i \rightarrow v_2 l_2 u_2 j)}{\sigma(l_1 \rightarrow l_2)},$$

где  $L(v_1 l_1 u_1 i \rightarrow v_2 l_2 u_2 j)$  — квадрат матричного элемента оператора взаимодействия;  $\sigma(l_1 \rightarrow l_2) = 1$  при  $l_1 = 0$  или  $l_2 = 0$ , в противном случае  $\sigma(l_1 \rightarrow l_2) = 2$ . Параметры  $\lambda_2(M)$  и  $g_2(M)$  определялись следующим образом. В случае процессов  $\text{CO}_2(1101) + M \rightarrow \text{CO}_2(0001) + M$  по формуле (2.8) должны получиться константы скорости  $k_2(M)$ , известные из экспериментов (ссылки на многочисленные экспериментальные работы и использованные аппроксимирующие выражения приведены в [11]), а расчет динамики изменения населенностей отдельных уровней должен дать постоянные времени, измеренные в экспериментальных работах (см., например, [6]). Матричные элементы вычислялись с помощью волновых функций состояний с учетом резонанса Ферми. Квадраты их относительных величин для переходов между нижними уровнями представлены в табл. 1, где  $p$  — параметр, равный квадрату отношения амплитуды колебаний деформационной моды к радиусу действия экспоненциального потенциала и определяемый в соответствии с [15].

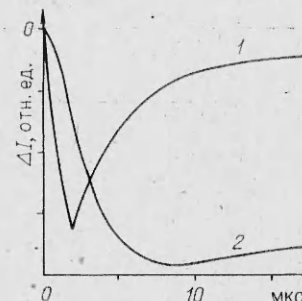
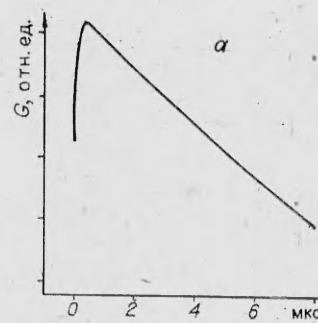
Константы скорости процессов (2.6) выразим следующим образом:

$$k((2.6), M) = u \frac{k_3(M)}{g_3(M)} F(M, \Delta E).$$

Экспоненциальные множители  $\lambda_3(M)$  можно вычислить из условия согласования с результатами [15] при  $T = 300$  К. Суммирование констант скорости процессов  $(0011) \rightarrow (vl0i)$  по всем каналам должно дать хорошо известные из эксперимента константы скорости релаксации антисимметричной моды  $k_3(M)$ , аппроксимирующие выражения для которых приведены в [11]. Отсюда определялись нормировочные коэффициенты  $g_3(M)$ . Для



Фиг. 1



Фиг. 2

процессов (2.5) константы скорости задавались в виде

$$k(2.5) = 3,4 \cdot 10^4 (u_2 + 1) u_1 (300/T)^{3/2} \text{с}^{-1} \text{Па}^{-1}.$$

3. Среди работ по измерению поглощения в полосе 9,4 мкм после прохождения насыщающего импульса в полосе 10,4 мкм следует выделить [6]. В этой работе через ячейку, заполнявшуюся смесью CO<sub>2</sub>/N<sub>2</sub>/He в различном соотношении концентраций при температуре 373 К, пропускали импульс излучения длительностью 2 нс на нескольких вращательных переходах в полосе 10,4 мкм (P12–P22) и наблюдали изменение коэффициента пропускания на переходе P24 в полосе 9,4 мкм. Малая длительность импульса позволила отделить процессы колебательной релаксации в системе нижних уровней от двухфотонных процессов, вращательной релаксации и VV-обмена в антисимметричной моде. В результате измерений были установлены стадии изменения поглощения — быстрая стадия уменьшения поглощения с постоянной времени  $\tau$ , которая следовала непосредственно после прекращения импульса и завершения процессов вращательной релаксации и VV-обмена в антисимметричной моде, и значительно более медленная стадия роста поглощения. Авторы работы [6] привели зависимости  $1/\tau$  от парциальных давлений компонентов и получили величины  $1/\tau_{\text{CO}_2} = (2,25 \pm 0,75) \cdot 10^3 \text{ с}^{-1} \text{Па}^{-1}$ ,  $1/\tau_{\text{N}_2} = (2,25 \pm 0,75) \cdot 10^3 \text{ с}^{-1} \text{Па}^{-1}$ ,  $1/\tau_{\text{He}} = (0,6 \pm 0,2) \cdot 10^3 \text{ с}^{-1} \text{Па}^{-1}$ . Эти частоты были отождествлены с константами скорости процессов



Для анализа данного эксперимента выполнялось решение системы кинетических уравнений для населенности уровней CO<sub>2</sub> с начальными условиями, соответствовавшими насыщению полосы 10,4 мкм. На фиг. 1, а показано изменение коэффициента пропускания, полученное в результате расчета при давлении CO<sub>2</sub> 6,6 кПа. На фиг. 1, б более подробно изображена начальная часть фиг. 1, а. Вращательная релаксация в расчетах не учитывалась, уменьшение пропускания на фиг. 1, б объясняется VV-обменом в антисимметричной моде. За исключением этого начального участка уменьшения пропускания, его динамика в полосе 9,4 мкм хорошо описывается выражением

$$(3.2) \quad G(t) = A + B \exp(-t/\tau) + C \exp(-\alpha t),$$

в котором показатель  $\alpha$  описывает рост поглощения спустя достаточно длительное время после насыщающего импульса. Аппроксимируя результаты подобных расчетов для смесей CO<sub>2</sub>/N<sub>2</sub>/He различного состава формулой (3.2) методом наименьших квадратов, получим рекомендованные в [6] величины частоты  $1/\tau = p_{\text{CO}_2}/\tau_{\text{CO}_2} + p_{\text{N}_2}/\tau_{\text{N}_2} + p_{\text{He}}/\tau_{\text{He}}$ , если в расчетах использовать следующие константы скорости процессов, обратных (3.1): для CO<sub>2</sub> 360  $\text{с}^{-1} \text{Па}^{-1}$ , для азота 450  $\text{с}^{-1} \text{Па}^{-1}$ , для гелия 100  $\text{с}^{-1} \text{Па}^{-1}$ . При этом наблюдавшаяся в [6] медленная стадия восстановления поглощения получается без привлечения дополнительных соображений о харак-

тере кинетических процессов между уровнями связанных мод. Двухстадийный характер изменения поглощения определяется всей совокупностью процессов (2.1)–(2.3) в основном с участием нижних уровней связанных мод. Измеряемые постоянные времени нельзя отнести к какому-либо одному из этих процессов.

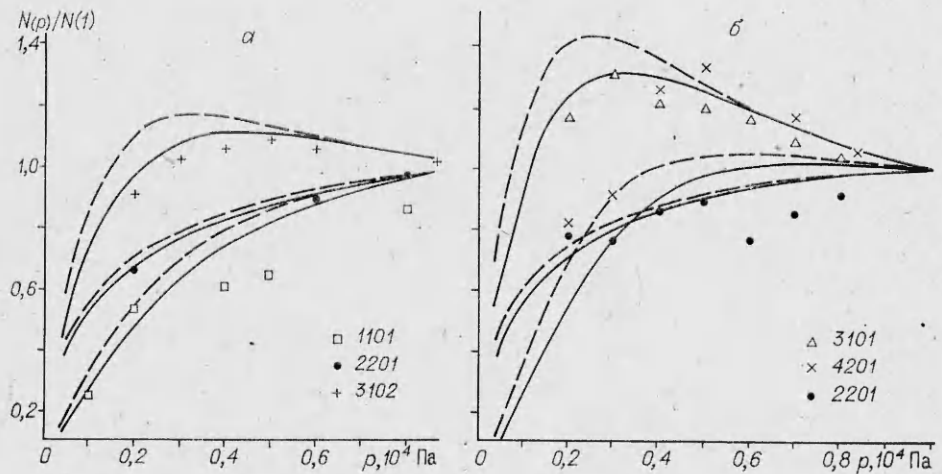
Разумеется, численный анализ только одного эксперимента не позволяет установить степень достоверности приведенных величин констант скорости процессов (3.1). Они в определенной степени зависят от способа корреляции между константами скорости всех процессов (2.1)–(2.3). В связи с этим представляется важным проанализировать и другие работы.

В [7] импульс излучения длительностью 2 мкс на 9,6 или 10,6 мкм пропускали через CO<sub>2</sub> при давлении 100 Па и температуре 300 К. Регистрировали интенсивность флуоресценции в диапазоне длин волн 15,48–16,92 мкм, причем отдельные полосы в этом спектральном диапазоне не были разрешены. Во время действия импульса на 9,6 мкм наблюдалось быстрое уменьшение интенсивности флуоресценции из-за опустошения уровня 2002, далее происходило восстановление исходного состояния, сначала — быстро, с постоянной времени  $1/\tau = (2,9 + 0,6) \cdot 10^3 \text{ с}^{-1}\text{Па}^{-1}$ , а затем — медленно. При действии импульса на 10,6 мкм изменялась флуоресценция с характерными частотами более  $7,5 \cdot 10^3 \text{ с}^{-1}\text{Па}^{-1}$ , затем наблюдалось слабое медленное ее изменение. Начальные участки осциллограмм интенсивности флуоресценции искажались импульсом излучения. Авторы [7] предположили, что быстрая постоянная времени относится к процессам типа (3.1), а более медленная — характеризует *VV*-обмен в связанных модах.

Проведенное численное моделирование с учетом указанных выше кинетических процессов, а также величин радиационных вероятностей переходов полностью объяснило наблюдавшуюся картину. На фиг. 2 изображено расчетное изменение флуоресценции в указанном в [7] спектральном диапазоне при прохождении импульса излучения на 9,6 и 10,6 мкм (кривые 1 и 2 соответственно). Количественное согласие с измеренной постоянной времени в случае кривой 1 получено при величине константы скорости процесса (обратного (3.1)), равной  $390 \text{ с}^{-1}\text{Па}^{-1}$ . Численный анализ участка кривой 2 непосредственно после окончания импульса излучения методом наименьших квадратов показал, что он плохо аппроксимируется экспоненциальной зависимостью, но характерный масштаб времени изменения флуоресценции на этом участке порядка  $10^4 \text{ с}^{-1}\text{Па}^{-1}$ . В целом же кривая 2 качественно соответствует эксперименту. Таким образом, для объяснения результатов экспериментов при возбуждении флуоресценции излучением на 9,6 и 10,6 мкм нет необходимости считать, что величина порядка  $7,5 \cdot 10^3 \text{ с}^{-1}\text{Па}^{-1}$  относится к процессам (3.1), а величина порядка  $3 \cdot 10^3 \text{ с}^{-1}\text{Па}^{-1}$  характеризует процессы *VV*-обмена в связанных модах. Сами авторы [7] пришли к выводу, что при их предположениях результаты эксперимента с возбуждением на 10,6 мкм трудно объяснить. Как и в [6], измеренные постоянные времени характеризуют всю совокупность процессов (2.1)–(2.3) с участием нижних уровней связанных мод.

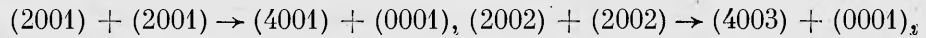
В условиях эксперимента влияние аргона на постоянную времени изменения флуоресценции оказалось слабым вплоть до парциального давления 1,2 кПа при фиксированном давлении CO<sub>2</sub> 100 Па. Расчеты для смеси CO<sub>2</sub> : Ar = 0,75 : 8 показали, что при выборе отношения констант скорости процессов (3.1) для аргона и CO<sub>2</sub>, равного 0,07, постоянная времени изменяется по сравнению с чистым CO<sub>2</sub> на 19%, что находится в пределах погрешности измерений. Отсюда можно заключить, что отношение указанных констант скорости для аргона и CO<sub>2</sub> не превышает 0,07.

В [9] методом активной спектроскопии комбинационного рассеяния были измерены в зависимости от давления CO<sub>2</sub> избыточные по отношению к равновесным при температуре 300 К населенности нескольких уровней, заселяемых в результате столкновений при двухчастотном комбинацион-



Ф и г. 3

ном возбуждении состояний 2001 и 2002. Метод обладает высоким спектральным разрешением и позволяет легко измерять населенности отдельных уровней. Однако динамика населенностей не измерялась, поэтому в работе приведены лишь оценочные величины констант скорости, в частности, для процесса (3.1) по оценке константа составила величину менее  $525 \text{ с}^{-1} \text{ Па}^{-1}$ . В экспериментах не было обнаружено никаких признаков протекания реакций типа



хотя они имеют малые дефекты энергии, а концентрация возбужденных молекул была достаточной для их наблюдения. Отсутствие этих процессов может быть объяснено малостью соответствующих матричных элементов оператора взаимодействия и служит доводом в пользу возможности ограничиться в расчетах учетом лишь процессов (2.1)–(2.3). Экспериментальная информация по населенностям сразу нескольких уровней позволяет оценить не только величину константы скорости (3.1), но и сделать выводы о соотношении между константами скорости различных процессов.

На фиг. 3 приведены расчетные и экспериментальные зависимости избыточных населенностей от давления при двухчастотном комбинационном возбуждении уровней 2002 (a) и 2001 (b). Расчетные кривые относятся к моменту времени 20 нс для прямоугольных импульсов накачки, обеспечивающих, как и в эксперименте, одинаковую эффективность накачки (в расчете на молекулу) при изменении давления. Штриховые линии — результаты расчетов в случае константы скорости процесса (обратного (3.1)), равной  $390 \text{ с}^{-1} \text{ Па}^{-1}$ , сплошные — то же при  $315 \text{ с}^{-1} \text{ Па}^{-1}$ . В последнем случае весьма хорошо согласуется большая часть экспериментальных и расчетных результатов. Следовательно, использованные в расчетах соотношения между скоростями процессов (2.1)–(2.3), которые и определяют зависимость населенностей от давления, позволяют правильно описать динамику заселения уровней мультиплетов, соответствующих, по крайней мере, трем квантам. Причины заметного расхождения расчетных и экспериментальных результатов по населенности уровня 4201 остались неясными.

Отношение между квадратами матричных элементов членов разложения потенциала взаимодействия по нормальной координате деформационной моды первого и второго порядка малости (параметр  $r$  в табл. 1) находилось из теоретических соображений [10, 15]. Благодаря использованию экспериментальной информации по кинетическим процессам с малыми и большими дефектами энергии влияние этого параметра оказывается слабым. Так, изменение величины  $r$  в 2 раза при анализе экспери-

Таблица 2

Константа скорости	Процесс	$T=280$ К	$T=373$ К	$T=300$ К	$T=300$ К	$T=300$ К
$k_0(\text{с}^{-1}\text{Па}^{-1})$	$(2001)+\text{CO}_2 \rightarrow$ $\rightarrow(2002)+\text{CO}_2$	360+60	360	390	315	550
$k/k_0$	$(2001)+\text{CO}_2 \rightarrow$ $\rightarrow(2201)+\text{CO}_2$	1,67	2,16	2,22	2,18	1,08
$k/k_0$	$(1101)+(1101) \rightarrow$ $\rightarrow(2001)+(0001)$	0,94	0,93	0,91	0,92	0,35
$k/k_0$	$(1101)+(1101) \rightarrow$ $\rightarrow(2201)+(0001)$	8,4	9,8	10,4	10	3,7

\* Результаты численного анализа, выполненного в данной работе.

Таблица 3

$M$	$T=280$ К	$T=373$ К	$T=300$ К	$T=400$ К	$T=300$ К	$T=300$ К
He	0,12	0,33	—	0,054	—	0,91
Ne	—	—	—	—	0,47	0,3
Ar	—	—	0,07	—	—	0,17
Kr	—	—	—	—	—	0,17
Xe	—	—	—	—	—	0,15
$N_2$	0,12	1,25	—	0,46	—	0,35

\* Результаты численного анализа, выполненного в данной работе.

ментов [7] привело к изменению величины константы скорости процесса (3.1) всего на 5%, а влияние этого параметра на расчетные населенности уровней в экспериментах [9] оказалось еще меньшим.

4. В [8] определены константы скорости  $VV$ - и  $VT$ -процессов в системе нижних уровней  $\text{CO}_2$ . С помощью перестраиваемого лазера измерялось поглощение на нескольких переходах  $(vlu_k) \rightarrow (vl, u+1, k)$  в области 4,3 мкм после сброса инверсии в полосе 10,4 мкм коротким импульсом излучения. Газ возбуждался в электрическом разряде. Константы скорости определены расчетным анализом динамики населенностей уровней 2001, 2002, 2001 и 1101 в рамках шестиуровневой модели, в которой кроме указанных были приняты во внимание также уровни 0011 и 0001. Сопоставление результатов [8], результатов проведенного выше анализа экспериментов [6, 7, 9] и результатов расчета констант скорости в рамках теории колебательной релаксации под действием короткодействующих сил [10] приведено в табл. 2. Видно, что константы скорости четырех процессов с участием молекул  $\text{CO}_2$ , полученные в [8] и из расчетного анализа [6, 7, 9], согласуются друг с другом в пределах 20%, что не превышает погрешности измерений. Таким образом, можно заключить, что имеющийся в литературе большой разброс в результатах измерений констант скорости процессов в системе нижних уровней  $\text{CO}_2$  связан с интерпретацией результатов, а не с возможными погрешностями измерений.

В настоящее время существует очень ограниченная информация по константам скорости процессов (3.1) при столкновениях с другими молекулами и атомами инертных газов. В табл. 3 приведены константы скорости процессов, обратных (3.1), для различных партнеров по столкновению, нормированные на соответствующую константу скорости для  $\text{CO}_2$ . Для сравнения в последнем столбце представлены результаты исследования колебательной релаксации молекулы  $N_2O$  методом спектрофона [17]

(константы скорости для различных партнеров по столкновению нормированы на соответствующую константу скорости для  $\text{N}_2\text{O}$ ). Наблюдавшееся в [17] уменьшение константы скорости с увеличением массы партнера по столкновению качественно согласуется с теорией Шварца — Славского — Герцфельда, но является более слабым. Вероятно, аналогичная картина должна быть и в случае  $\text{CO}_2$ . С этой точки зрения результаты [8] для азота более предпочтительны, чем [6].

В целом результаты [6—9] и проведенный выше их анализ позволяют рекомендовать константу скорости процесса  $\text{CO}_2 + \text{CO}_2 \rightarrow \text{CO}_2 + \text{CO}_2$ , равную  $360 \text{ c}^{-1} \text{ Па}^{-1}$ , и корреляцию констант скорости процессов (2.1)–(2.3) в соответствии с формулами (2.7) и (2.8) для детальных расчетов населеностей уровней молекул  $\text{CO}_2$ .

#### ЛИТЕРАТУРА

1. Rhodes C. K., Kelly M. J., Javan A. Collisional relaxation of the  $10^0$  state in pure  $\text{CO}_2$ . — J. Chem. Phys., 1968, v. 48, N 12.
2. Bulthuis K., Ponsen G. J. Relaxation of the  $10^0$  lower laser level in  $\text{CO}_2$ . — Chem. Phys. Lett., 1973, v. 21, N 2.
3. Bulthuis K. Laser power and vibrational energy transfer in  $\text{CO}_2$  lasers. — J. Chem. Phys., 1973, v. 58, N 12.
4. DeTemple T. A., Suhre D. R., Coleman B. R. Relaxation rates of lower laser levels in  $\text{CO}_2$ . — Appl. Phys. Lett., 1973, v. 23, N 8.
5. Stark E. E. Measurement of the  $10^0 - 02^0$  relaxation in  $\text{CO}_2$ . — Appl. Phys. Lett., 1973, v. 23, N 6.
6. Jacobs R. R., Pettipiece K. J., Thomas S. J. Rate constants for the  $\text{CO}_2$   $02^0 - 10^0$  relaxation. — Phys. Rev., 1975, v. A11, N 1.
7. Huddleston R. K., Weitz E. A laser-induced fluorescence study of energy transfer between the symmetric stretching and bending modes of  $\text{CO}_2$ . — Chem. Phys. Lett., 1981, v. 83, N 1.
8. Dang C., Reid J., Garside B. K. Dynamics of the  $\text{CO}_2$  lower laser levels as measured with tunable diode laser. — Appl. Phys., 1983, v. B31, N 3.
9. Бродниковский А. М., Гладков С. М., Каримов М. Г., Коротеев Н. И. Двухфотонное комбинационное возбуждение молекулярных колебаний: новый подход к изучению колебательной релаксации в многоатомных газах. — ЖЭТФ, 1983, т. 84, № 5.
10. Seeber K. N. Radiative and collisional transitions between coupled vibrational modes of CO. — J. Chem. Phys., 1971, v. 55, N 10.
11. Исламов Р. Ш., Конев Ю. Б., Липатов И. И., Пашинян П. П. Теоретическое исследование характеристик усиления на переходах между уровнями симметричной и деформационной мод молекул  $\text{CO}_2$  при адабатическом расширении нагретых смесей с аргоном в сверхзвуковых соплах. Препринт ФИАН, 1982, № 113.
12. Никитин Е. Е. Теория элементарных атомно-молекулярных процессов в газах. М: Химия, 1970.
13. Procaccia I., Levin R. D. Vibrational energy transfer in molecular collisions: An information theoretic analysis and synthesis. — J. Chem. Phys., 1975, v. 63, N 10.
14. Blauer J. A., Zelazny S. W. et al. Comprehensive kinetics model for DF —  $\text{CO}_2$  transfer chemical lasers. — IEEE J., 1979, v. QE-15, N 7.
15. Herzfeld K. F. Deactivation of vibrations by collision in the presence of Fermi resonance. — J. Chem. Phys., 1967, v. 47, N 2.
16. Billing G. D. Semiclassical calculation of energy transfer in polyatomic molecules. III. Rate constants for energy transfer in  $\text{Ne} + \text{CO}_2$ . — Chem. Phys., 1980, v. 49, N 2.
17. Слободская П. В., Ритынь Е. Н. Определение констант  $VV'$ -обмена между уровнями  $10^0$  и  $02^0$  молекулы  $\text{N}_2\text{O}$  при ее столкновениях с атомами благородных газов. — Хим. физика, 1983, № 10.

Поступила 23/V 1984 г.